

ویژه‌نامه توسعه زنجیره فناوری‌های هیدروژنی

سنتز نیتریدبور دوب شده با کربن و اکسیژن با سطح ویژه بالا به منظور به کارگیری در ذخیره فیزیکی گاز هیدروژن

فرشید فرزانه^۱، هاجر قنبری^۱، محمد گل‌محمد^{۲*} و حسین سرپولکی^۱

۱- دانشکده مهندسی مواد و متالورژی، دانشگاه علم و صنعت ایران، تهران، ایران

۲- گروه انرژی‌های تجدیدپذیر، پژوهشگاه نیرو، تهران، ایران

تاریخ دریافت: ۱۴۰۳/۱۰/۲۹ تاریخ پذیرش: ۱۴۰۳/۰۲/۰۱

چکیده

مطالعات نشان‌دهنده افزایش انرژی جذب فیزیکی مولکول‌های هیدروژن در اثر تغییر شیمی نیتریدبور به‌وسیله دوب کردن جانشینی اتم‌های کربن و اکسیژن است. از آنجا که جذب فیزیکی گاز مستقیماً تحت تأثیر ریزساختار ماده است، توسعه روش سنتزی که ضمن کنترل بر ریزساختار و سطح ویژه نیتریدبور، اتم‌های کربن و اکسیژن را وارد ساختار کند، دارای اهمیت است. در حالی که دمای سنتز یکی از مهم‌ترین عوامل کنترل بلورینگی، درصد تخلخل و سطح ویژه ماده است، پژوهش‌ها نشان داده‌اند که افزایش دما منجر به خارج شدن دوبه کربن از ساختار نیتریدبور می‌شود. در این پژوهش، برای اولین بار دوب کردن عناصر کربن و اکسیژن در نیتریدبور با تغییر اتمسفر کوره از نیتروژن خالص به اتمسفر مخلوط نیتروژن و هیدروژن انجام و بررسی شده است. به این منظور، پیش‌ماده سنتز نیتریدبور با استفاده از کربنات گوانیدین و اسید بوریک با احلال هم‌زمان در آب و رسوب‌دهی آماده‌سازی شد. این پیش‌ماده تحت اتمسفر مخلوط گازی نیتروژن و هیدروژن (H_2/N_2 ۹۵٪) در دماهای 1000°C و 1500°C به مدت ۳ h تحت عملیات حرارتی قرار گرفت. بررسی فازی به کمک آنالیز پراش پرتو ایکس (XRD)، بررسی ریزساختاری با کمک میکروسکوپ الکترونی روبشی گسل میدانی (FESEM) و اندازه‌گیری سطح ویژه با کمک آزمایش جذب-واجذب نیتروژن و به روش BET انجام گرفت. همچنین به منظور تعیین غلظت و نحوه قرارگیری اتم‌های دوبه در ساختار، از طیف‌سنجی فوتولکترون پرتو ایکس (XPS) استفاده شد. نتایج نشان می‌دهند که صفحات نیتریدبور در دمای 1000°C با موفقیت سنتز شده و سطح ویژه این ماده $300 \text{ m}^2/\text{g}$ با حفراتی با عرض 15 \AA تا 40 \AA است. علاوه بر این، نتایج آنالیز فازی نشان‌دهنده پراش پرتو ایکس، مطابق با الگوی پراش نیتریدبور هگزاگونال استاندارد است. طیف‌سنجی رaman، تشکیل پیوندهای نیتریدbor در امتداد صفحات را تأیید می‌کند مقدار اکسیژن و کربن دوب شده در این ماده به ترتیب ۶ و ۱۷٪ اندازه‌گیری و گزارش شده است.

کلمات کلیدی: جذب فیزیکی هیدروژن، نیتریدبور هگزاگونال، دوبه جانشینی، نانوصفحات، سطح ویژه بالا

براساس سازوکار جذب فیزیکی را بسیار امیدبخش و در عین حال چالش برانگیز کرده است. ویژگی‌های سطح ماده مانند سطح ویژه (SSA)^۱، حجم منافذ و انرژی جذب هیدروژن، عوامل کلیدی حاکم بر ظرفیت جذب هیدروژن برای هر جاذب فیزیکی است [۲]. سطح ویژه بالاتر، سطوح بیشتری از ماده را برای جذب مولکول‌های هیدروژن فراهم می‌کند، درحالی‌که انرژی جذب هیدروژن، نشان‌دهنده انرژی برهمنش بین مولکول هیدروژن و سطح ماده در فرآیند جذب هیدروژن یا به عبارت دیگر ظرفیت جذب بالاتر بر واحد سطح است. یکی از رویکردهای مهم در ساخت مواد ذخیره‌ساز هیدروژن، تلاش برای توسعه موادی با سطح ویژه بالاتر و حجم حفرات باز بیشتر است. با این حال، افزایش سطح ویژه در مواد متخلخل به حدود g/m^2 ۳۸۰۰ محدود شده است، بنابراین افزایش ظرفیت جذب بر اثر افزایش بیشتر سطح ویژه، امکان پذیر نیست. همچنین، مقایسه نتایج به دست آمده از جذب فیزیکی هیدروژن بر مواد جاذب کربنی، نشان می‌دهد که در موارد متعددی، مواد کربنی با سطح ویژه زیر g/m^2 ۱۰۰۰ می‌توانند ظرفیت ذخیره هیدروژن بالاتری را از مواد با سطح ویژه بالای هیدروژن نشان دهند [۴]. در نتیجه، می‌بایست تمرکز به سمت افزایش آنتالپی واکنش جذب فیزیکی تا kJ/mol ۲۰ باشد که این مهم به صورت نظری می‌تواند با معرفی میانکنش‌های کوباس^۲، یونیزاسیون، پلاریزاسیون یا قطبش و تابش به مواد میزان و همچنین اثر سرریز شدن هیدروژن ممکن شود [۵]. نیتریدبور، یکی از موادی است که برای کاربرد ذخیره هیدروژن، مورد مطالعات آزمایشگاهی و محاسباتی قرار گرفته است [۶]. در مقایسه با مواد کربنی متناظر، نانومواد نیتریدبور، پایداری حرارتی و مقاومت شیمیایی منحصر به فردی نشان می‌دهند، که بهبود قابلیت بازیافت و طول عمر آن‌ها را ممکن می‌سازد [۷].

مقدمه

گاز هیدروژن با ارزش حرارتی بالا، چگالی کم، بازده تبدیل انرژی بالا، امکان تولید از آب بدون انتشار گازهای گلخانه‌ای، فراوانی بالا در جهان، امکان ذخیره به روش‌های گوناگون (شامل گاز، مایع، هیدریدهای فلزی و دیگر روش‌ها) و امکان جابه‌جایی در فواصل طولانی، بسیاری از ویژگی‌های لازم برای یک حامل انرژی ایده‌آل را داراست [۱]. در حالی‌که گاز هیدروژن بالاترین چگالی انرژی بر واحد وزن را در میان سوخت‌های دیگر (به عنوان مثال متان) دارد، چگالی حجمی انرژی (انرژی در واحد حجم) هیدروژن پایین است، که این موضوع منجر ایجاد چالش در ذخیره‌سازی می‌شود. در نتیجه چگالی حجمی پایین، می‌بایست هیدروژن را یا در دماهای پایین و فشارهای بالا و یا در فرآیندهای ذخیره‌سازی با استفاده از مواد جاذب در حالت متراکم نگهداری نمود. ذخیره‌سازی ایمن و فشرده هیدروژن با در نظر گرفتن کاربردهای منقول و ساکن در بستری جامد، یکی از الزامی‌ترین و چالش برانگیزترین حوزه‌های پژوهشی برای استفاده از هیدروژن به عنوان حامل انرژی است. اگرچه در دهه گذشته پیشرفت‌های چشم‌گیری در تحقیق روی مواد و مفاهیم ذخیره‌سازی هیدروژن انجام شده است، مواد ذخیره‌ساز هیدروژن توسعه داده شده نتوانسته‌اند الزامات یک ذخیره‌ساز مطلوب را داشته باشند. در نتیجه، توسعه سامانه‌های بادوام، کم‌هزینه و با ظرفیت بالای ذخیره‌سازی هیدروژن دارای اهمیت است [۲]. به‌طور کلی هیدروژن را می‌توان از طریق فرآیندهای جذب فیزیکی، شیمیایی و یا واکنش‌های شیمیایی درون مواد ذخیره کرد. جذب فیزیکی نسبت به جذب شیمیایی و واکنش‌های شیمیایی مزایای قابل توجهی از جمله سرعت جذب و آزادسازی بالا، برگشت‌پذیری عالی و پایداری چرخه‌ای بالا را داراست، اگرچه معمولاً ظرفیت جذب این مواد نسبتاً کم است. این ویژگی‌های مطلوب، طراحی جاذب‌های هیدروژن

1. Specific Surface Area
2. Kubas Interactions

پژوهش نفت شماره ۱۴۰، فروردین و اردیبهشت ۱۴۰۴، صفحه ۸۰-۶۸

به بیش از ۵٪ را، با حضور غیر تعادلی کربن در ساختار نیتریدبور گزارش کرده‌اند. علاوه‌براین، هم‌زمان، تغییر چشمگیر توزیع الکترونی ماده و همچنین تمایل اتم‌های دوپه به خوش‌های شدن به جای توزیع اتفاقی را در ازای افزایش غلظت دوپه‌ها نشان داده‌اند. همچنین، ذخیره‌سازی در دمای محیط تاکنون به صورت آزمایشگاهی بررسی نگردیده است، اما جوهري و همکاران [۱۵] تأثیر دوپ شدن کربن در ساختار نانوصفحات نیتریدبور و انرژی جذب و مواضع ترجیحی جذب مولکول هیدروژن در هر دما را به روش محاسباتی بررسی کرده‌اند. در این مطالعه، افزایش نزدیک به ۱۰۰٪ انرژی جذب در اثر افزایش دما از ۲۹۸ به K ۵۰۰ گزارش شده است. اتم دیگری که می‌تواند جانشین گردد اکسیژن است. متوبو و همکاران [۱۶] با محاسبات DFT نشان دادند که ظرفیت جذب هیدروژن به نوع نقص موجود در ساختار نیتریدبور بستگی دارد. در BN خالص، مقدار جذب هیدروژن کمتر از ۲/۳٪ وزنی در دمای T=77 K محاسبه شده است در حالی که ظرفیت جذب ۰/۵٪ هیدروژن در حضور اتم هیدروژن تا بازه ۳ تا ۰/۵٪ وزنی در دمای T=77 K افزایش یافته است؛ همچنین دفع هیدروژن برای مقادیر بالاتر از ۰/۵٪ وزنی گزارش شده است. توکارو و همکاران [۱۷] با تمرکز بر سلول واحدی از نیتریدبور شامل سطح تک لایه، انرژی جذب منفی ۶/۹ kJ/mol برای نیتریدبور خالص اولیه و انرژی منفی ۸/kJ/mol^۴ برای نیتریدبور دوپ شده با اکسیژن محاسبه کرده‌اند. شایانفر و شهسواری [۱۸] با استفاده از شبیه‌سازی DFT و دینامیک مولکولی به مقایسه ساختارهای سه بعدی نیتریدبور ستونی خالص و دوپ شده با اکسیژن پرداختند. یافته‌ها نشان داد که حضور اکسیژن با قطبی کردن مولکول هیدروژن جذب شیمیایی را تقویت می‌کند. ساختار مذکور به صورت نظری امکان جذب بیشینه شش مولکول هیدروژن را نشان می‌دهد به طوری که سه مولکول در اطراف اتم اکسیژن و سه مولکول در فواصل دورتر جذب می‌گردند.

همچنین وجود میانکنش‌های قوی بین سطح نیتریدبور و مولکول هیدروژن نسبت به سطح کربن، به دلیل وجود پیوندهای قطبی در میان اتم‌های بور و نیتروژن، به طور نظری طرح شده است [۱۸]. ایده دوپه جانشینی، جانشین کردن اتم‌های سبک دیگر در مواضع اتم‌های بور یا نیتروژن، در شبکه بلورین نیتریدبور هگزاگونال است. با توجه به محل اتم‌های بور و نیتروژن در جدول تناوبی با اعداد اتمی ۵ و ۷، اولین جانشین پیشنهادی، کربن با عدد اتمی ۶ است [۱۹]. کربن می‌باشد به گونه‌ای وارد ساختار شود که پیوندهای sp² با اتم‌های نیتروژن و بور تشکیل دهد. انرژی جذب هیدروژن روی اتم‌های کربن جانشین شده به جای اتم‌های بور و نیتروژن در ساختار نیتریدبور، برای جذب مولکول هیدروژن بسیار مناسب پیش‌بینی محاسبه شده است [۱۰]. زو و همکاران [۱۱] با استفاده از محاسبات نظریه تابعی چگالی DFT خواص جذب هیدروژن را بررسی کرده و دریافتند که تا ده مولکول هیدروژن می‌توانند روی دو طرف تک‌لایه BNC متشکل از eV ۱۲ آنم، با انرژی جذب در محدوده ۰/۱۹ eV تا ۰/۲۷ برای هر مولکول H₂ جذب شوند. علاوه‌براین، نتایج شبیه‌سازی‌های مونت کارلو (GCMC) نشان می‌دهند که ظرفیت جذب گاز هیدروژن در دمای اتاق (K ۲۹۸)، می‌تواند به ۷/۴۸٪ وزنی برسد. طلایع و همکاران [۱۲] به کمک محاسبات DFT اثر ورود اتم کربن بر توزیع الکترون و کاف انرژی نیتریدبور نانولوله دو لایه را مطالعه و افزایش انرژی جذب مولکول‌های گاز را برای کاربرد حسگر گزارش کرده‌اند. ونگ و همکاران [۱۳] جذب گازهای مختلف در سطح نانوصفحات نیتریدبور دوپ شده با کربن، با در نظر گرفتن حالات مختلف شامل حظور کربن در مواضع بور و مواضع نیتروژن را برای گازهای مختلف بررسی و با نانوصفحات دوپ نشده مقایسه کرده‌اند. در این پژوهش افزایش چشمگیر ظرفیت جذب در حضور دوپه‌ها گزارش شده است. شیروکار و همکاران [۱۴] در مطالعات محاسباتی افزایش غلظت دوپه‌ها

نیتریدبور و تغییرات ریزساختاری در اثر افزایش بیشتر دما به ${}^{\circ}\text{C}$ ۱۰۰۰ گزارش شده است [۱۹]. این مورد منجر به عدم امکان بهره‌گیری از متغیر دما برای تغییر بلورینگی و دست‌یابی به ریزساختار صفحه‌ای شده است. در نتیجه، طراحی فرآیند سنتزی که بتواند اتم‌های دوپه را به صورت کنترل شده در ساختار نیتریدبور جانشین کند از یک طرف و از طرف دیگر شناسایی کمیت و کیفیت جانشین شدن اتم‌های دوپه در نیتریدبور نیازمند مطالعات بیشتر بر روی این ماده است. نتایج پژوهش حاضر نیز برای مقایسه در **جدول ۱** نشان داده شده است. مقایسه داده‌های پژوهش حاضر در **جدول ۱** نشان می‌دهد که در این روش توانسته با بهره‌گیری از اتمسفر حاوی جزء احیایی، ضمن افزایش دمای سنتز تا ${}^{\circ}\text{C}$ ۱۰۰۰ می‌توان به ساختار دوبعدی صفحات نیتریدبور دوپ شده با کربن و اکسیژن با سطح ویژه m^2/g ۳۰۰ دست یافت. در پژوهش حاضر به منظور بررسی امکان دوپ کردن جانشینی در جای اتم‌های دوپه، از اتمسفر با جزء احیایی استفاده شده است. این متغیر امکان حفظ غلظت بالاتر دوپه کربن در دمای ${}^{\circ}\text{C}$ ۱۰۰۰ و در نتیجه، دست‌یابی به ریزساختار متشکل از نانو صفحات نیتریدبور که بلورینگی بالاتری دارند را افزایش داده است.

انرژی جذب در مدل‌های دوپ شده با اکسیژن، منفی $203/6 \text{ kJ/mol}$ محاسبه شده است، در حالی که برای نمونه اصلی مقدار منفی در بازه $8-10 \text{ kJ/mol}$ محاسبه شده است. تقویت عملکرد ماده نیتریدبور هگزاگونال به عنوان ماده جاذب در کاربرد ذخیره هیدروژن، به واسطه دوپه جانشینی اکسیژن و کربن در شبکه نیتریدبور در مطالعات محاسباتی متعددی نشان داده شده است. پژوهش‌های تجربی که بر دوپ کردن کربن یا اکسیژن در نیتریدبور مرتكز بوده‌اند، از افزودنی (گلوکز، اسید سیتریک و غیره) یا تغییر نسبت مواد اولیه و انحراف از استوکیومتری برای دوپ کردن استفاده کرده‌اند. چند نمونه از این پژوهش‌ها در **جدول ۱** نمایش داده شده است. این روش‌ها توانسته‌اند اتم‌های کربن و اکسیژن را به طور مؤثری وارد ساختار نیتریدبور کنند. با این وجود، به‌دلیل تغییر در ترمودینامیک واکنش، نوع و حجم گازهای تولید شده حین سنتز و همچنین تغییر سینتیک واکنش، تغییر مقدار اتم‌های دوپ شده، منجر به تغییر هندسه ذرات، اندازه حفرات و نهایتاً ریزساختار شده است [۲۰]. علاوه بر این، دست‌یابی به ساختارهای دوپ شده در بسیاری از مطالعات در دماهای نسبتاً پایین زیر ${}^{\circ}\text{C}$ ۹۰۰ امکان‌پذیر شده است. به عبارت دیگر، خروج دوپه‌ها از ساختار

جدول ۱ مرور پژوهش‌های تجربی برای سنتز نیتریدبور دوپ شده با کربن و اکسیژن به روش کربوترمال

مرجع	شكل ذرات	سطح ویژه (m^2/g)	اتمسفر	دما (${}^{\circ}\text{C}$)	مواد اولیه	
[۱۹]	بی‌شکل حفرات کروی	---	نیتروژن	۹۰۰	اسیدبوریک-اوره	۱
[۲۰]	ساختار متخلخل	۵۰۰	نیتروژن	۹۰۰	اسیدبوریک-ملامین	۲
[۲۱]	آگلومره متخلخل	۳۴۰	نیتروژن	۹۰۰	اسیدبوریک-اوره-گلوکز	۳
[۲۲]	آگلومره سطوح شکسته	۶۸	نیتروژن	۹۰۰	اسیدبوریک-اوره-گلوکز	۴
[۲۳]	توده‌ای ماکромتخلخل	۳۱۵-۱۴	نیتروژن	۹۰۰	اسیدبوریک-اوره-گلوکز	۵
[۲۴]	میله‌ای	۱۱ - ۴	آرگون	۸۵۰	اسیدبوریک-ملامین	۶
[۲۵]	توده متخلخل	---	نیتروژن	۹۰۰	اسیدبوریک-اوره	۷
پژوهش حاضر	نانوصفحات	۳۰۰	نیتروژن/هیدروژن	۱۰۰۰	اسیدبوریک-گوانیدین	۸

پژوهش‌نفت شماره ۱۴۰، فروردین و اردیبهشت ۱۴۰۴، صفحه ۸۰-۶۸

FESEM, TESCAN, Czech Republic, Vega micro-) EDS, Oxford In-(scope) به همراه آنالیز شیمیایی (scope)، طیف‌سنجی Raman, Horiba, Japan, Xplora plus) با لیزری به طول موج ۷۸۵ nm، اندازه‌گیری سطح BET, Micromet-UV-, rics, USA, ASAP 2020 (Vis, BRAIC, China UV-2100 FT-IR, Perkin Elmer, USA, Spectrum) تبدیل فوریه XPS (RX I, SPECS, Germany, CenteNo surface characterization platform) مشخصه‌یابی شده است. طرح‌واره روش کار در گام سنتر و گام مشخصه‌یابی در **شکل ۱** به صورت خلاصه ارائه شده است.

نتایج و بحث

نتایج آنالیز پراش پرتو ایکس و طیف‌سنجی رامان به دست آمده از نیتریدبور سنتر شده در دماهای ۱۰۰۰ و ۱۵۰۰ °C در **شکل ۲** نمایش داده شده است. الگوی پراش پرتو ایکس نیتریدبور سنتر شده در دماهای ۱۰۰۰، پیک‌های صفحات بلوری نیتریدبور هگزاگونال را نشان می‌دهد. با این حال نسبت شدت پیک صفحات (۰۰۲) به صفحات (۰۱۱) کوچکتر از همین نسبت در نیتریدبور هگزاگونال بلورین با شبکه توسعه یافته در پژوهش‌های دیگر است [۲۵]. این موضوع نشان‌دهنده رشد ساختار نیتریدبور در امتداد صفحات هگزاگونال نیتریدبور در مقایسه با محور عمود بر صفحات است.

برای سنجش موفقیت این روش، همزمان امکان دست‌یابی به ساختاری شامل اتم‌های دوپه، روش EDS و XPS، در کنار بررسی ریزساختاری در تقارن با آنالیز فازی XRD، آنالیز طیف‌سنجی رامان و سنجش مشخصات سطحی ماده در آنالیز BET استفاده است.

روش کار

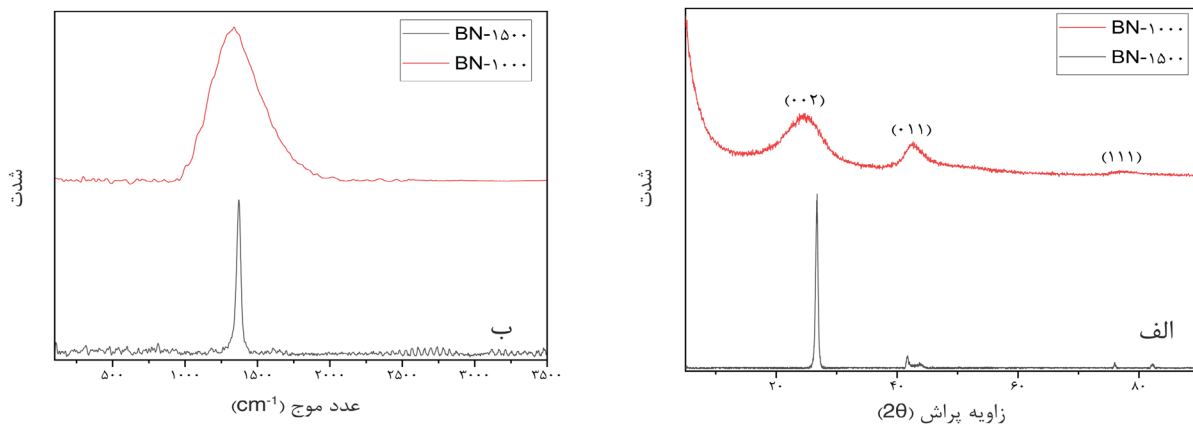
در سنتر نیتریدبور دوب شده با اکسیژن و کربن، کربنات گوانیدین (مرک CAS: ۱-۸۵-۵۹۳) به عنوان منبع نیتروژن و کربن و اسید بوریک (مرک ۳-۳۵-۱۰۰۴۳: CAS) به عنوان منبع بور و اکسیژن مورد استفاده قرار گرفته‌اند.

مواد اولیه در آمیزی به وزن ۱۵ g و نسبت مولی ۱/۱ اسیدبوریک به کربنات گوانیدین با اتحال در آب دیونیزه در دمای ۸۰ °C، روی همزن مغناطیسی و خشک کردن پس از اتحال در همین دما به دست آمده است. سپس ماده در دمای ۱۶۰ °C کاملاً خشک شده و کلوخه‌های به دست آمده پس از خردایش در هاون عقیق، در قایقک آلومینیایی تحت اتمسفر نیتروژن-هیدروژن (۵٪ حجمی هیدروژن، خلوص ۹۹/۹۹۹) در کوره تحت عبور گاز ۵۰ mL/min و در دماهای ۱۰۰۰ و ۱۵۰۰ °C به منظور واکنش سنتر کربوتomal نیتریدبور، به مدت ۳ h حرارت داده شده‌اند. اسید بوریک واکنش نکرده در محصول نهایی با دو چرخه شستشو در آب داغ و فیلتراسیون به کمک خلا، آماده مشخصه‌یابی شد.

پودر نیتریدبور به کمک روش‌های پراش پرتو ایکس (XRD, Bruker, USA, D8) با لامپ کاتد مس به طول موج ۱/۵۴ Å، در محدوده ۵۰-۹۰ درجه میکروسکوپ الکترونی روبشی گسیل میدانی



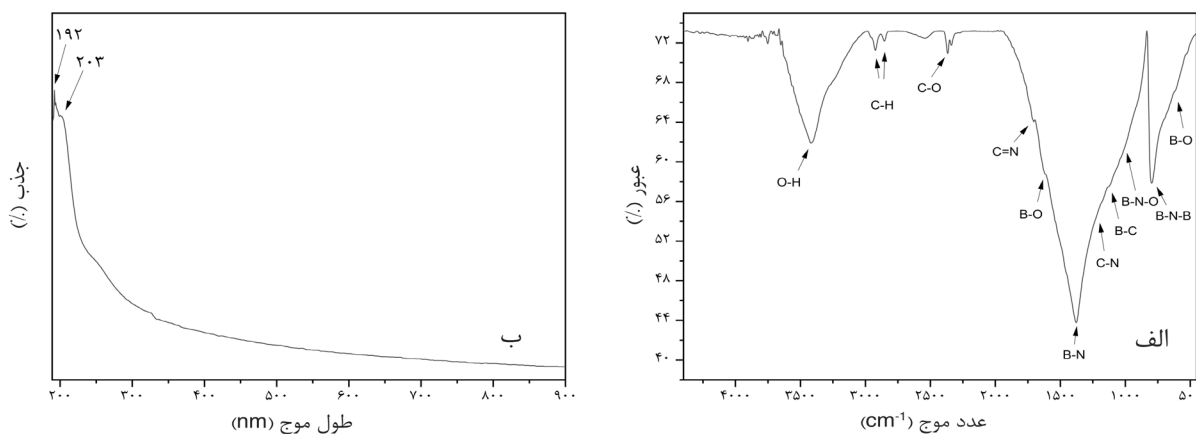
شکل ۱ طرح‌واره فرآیند سنتر و آنالیز نیتریدبور ساخته شده در دماهای ۱۰۰۰ و ۱۵۰۰ °C



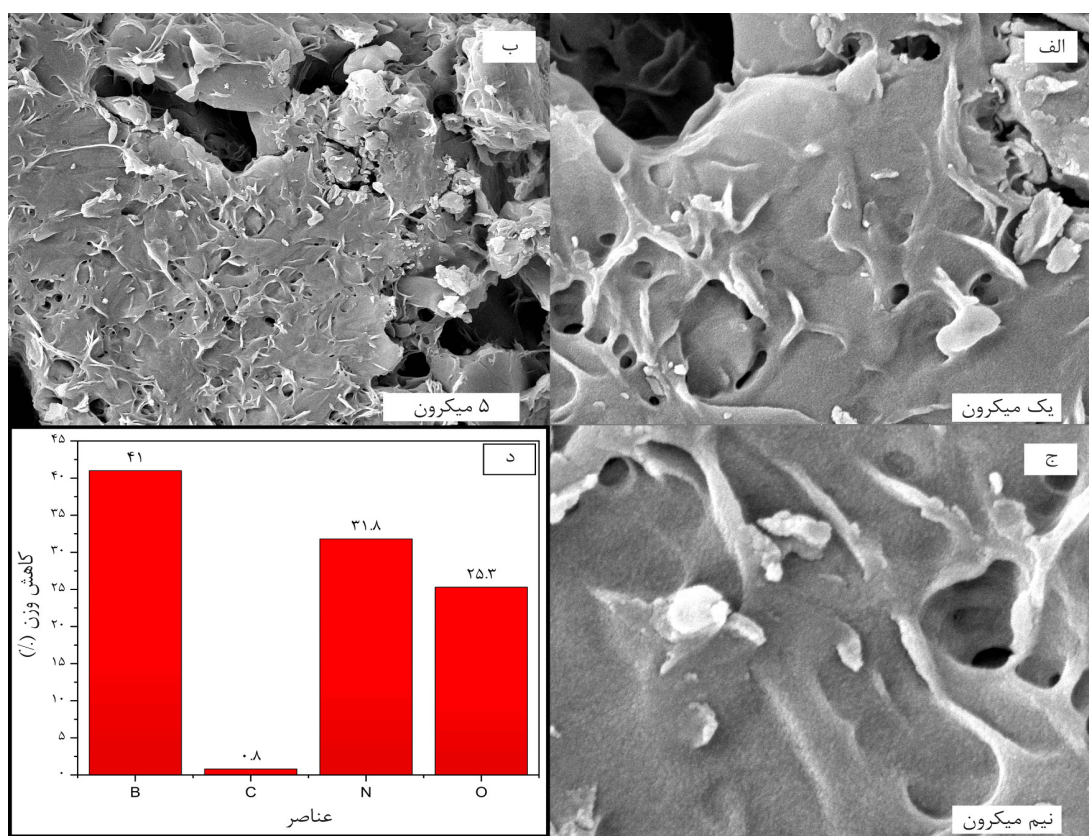
شکل ۲ مقایسه (الف) الگوی پراش پرتو ایکس [۲۵] و (ب) طیفسنجی رامان از نمونه نیتریدبور سنتر شده در دماهای 1000°C و 1500°C

فوریه نیز جذب در عدد موج مربوط به پیوندهای بور و نیتروژن را نشان می‌دهد. در نتایج طیفسنجی فروسرخ به خوبی وجود پیک‌های متعدد در ارتباط با پیوندهای متنوع موجود در ماده نمایش داده شده است. طیفسنجی فروسرخ تبدیل فوریه پیک‌های مربوط به ارتعاشات خمی و کششی پیوندهای نیتروژن و بور را در عدد موج‌های 800 cm^{-1} و 1350 cm^{-1} ، همراه با پیک‌های دیگری مربوط به اتم‌های کربن و اکسیژن دوب پ شده در ساختار نیتریدبور را نمایش داده است. طیفسنجی نور مرئی-فرابنفش نیز پیک‌هایی را با طول موج‌هایی در بازه $205-190\text{ nm}$ نشان می‌دهد. این پیک‌ها نشان‌دهنده وجود کاف انرژی پهن در نیتریدبور سنتر شده است. از آنجا که نوار متنوعه نیتریدبور هگزاگونال بالک ذخایر محصول پژوهش لیو و همکاران نزدیک به $6/08\text{ eV}$ می‌باشد، جذب در ناحیه نور فرابنفش نشان‌دهنده تغییر کوچک در نوار کاف انرژی نیتریدبور سنتر شده است؛ که برای این ماده بالاتر از $6/11\text{ eV}$ محاسبه شده است [۲۷]. ریز ساختار نیتریدبور هگزاگونال سنتر شده، با کمک میکروسکوپ الکترونی روبشی گسیل میدانی مورد مطالعه قرار گرفته است. **شکل ۴** (الف-ج) تصاویر میکروسکوپی به دست آمده از نمونه سنتر شده در دماهای 1000°C را نمایش می‌دهد. در این تصاویر توده‌های ذرات، به صورت به هم چسبیده یا انبوهای نشان داده شده‌اند.

به عبارت دیگر، صفحات به صورت دوبعدی و نه در امتداد محور عمود بر صفحات رشد یافته‌اند. همچنین، ریزدانگی بلورهای نیتریدبور سنتر شده با توجه به پهنای پیک‌ها در نیمه ارتفاع نشان از ابعاد نانومتری صفحات رشد یافته در دمای 1000°C در مقایسه با نمونه سنتر شده در 1500°C است. نتایج آنالیز طیفسنجی رامان نمونه سنتر شده در دمای 1000°C ، یک پیک پهن در عدد موج 1338 cm^{-1} را نشان می‌دهد. پهنای پیک طیفسنجی رامان، مطابق با دیگر پژوهش‌ها نشان‌دهنده وجود بازه گستردگی از پیوندهای متنوع در نمونه سنتر شده است که هر یک با انرژی پیوند و فواصل پیوندی متفاوت، رامان شیفت‌های متفاوتی را منجر شده‌اند و در نتیجه از تجمعی پیک پیوندهای متنوع، یک پیک پهن به وجود آمده است [۲۶]. با افزایش دمای سنتر و در نتیجه افزایش بلورینگی ساختار نیتریدبور هگزاگونال در دمای 1500°C ، در طیف آنالیز رامان تنها یک پیک نزدیک به عدد موج 1367 cm^{-1} به وجود آمده است. این پیک مربوط به ارتعاش E_{2g} ساختار بلورین نیتریدبور هگزاگونال است. اهمیت آنالیز طیفسنجی رامان، حساسیت بالای این روش مشخصه‌یابی در مقایسه با روش‌هایی مانند پراش پرتو ایکس است. **شکل ۳** نتایج آنالیزهای طیفسنجی فروسرخ تبدیل فوریه و طیفسنجی مرئی-فرابنفش نیتریدبور سنتر شده در دمای 1000°C را نشان می‌دهند. آنالیز طیفسنجی فروسرخ تبدیل



شکل ۳ (الف) طیف‌سنجی فروسرخ تبدیل فوریه و (ب) طیف‌سنجی نور مرئی-فرا بنفش نیتریدبور سنتز شده در دمای 1000°C



شکل ۴ (الف، ب و ج) تصاویر میکروسکوپ الکترونی روبشی به دست آمده از سطح پودر نیتریدبور سنتز شده در دمای 1000°C و (د) کسر اتمی عنصر شناسایی شده در نمونه به روش طیف‌سنجی انرژی تفرق پرتواکس

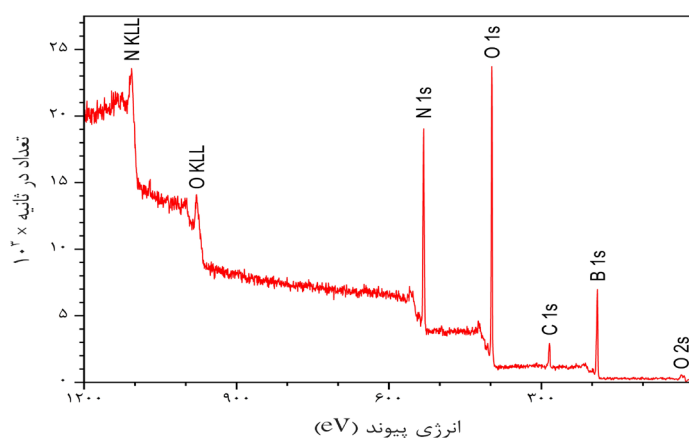
سطح نمونه به صورت اتفاقی آنالیز شیمیایی انجام گرفت و میانگین غلطت عناصر موجود در نمونه، گزارش گردید. بر این مبنای، بور و نیتروزن به عنوان اجزا تشکیل‌دهنده اصلی ماده بیشترین حضور را در نقاط مختلف ماده دارند به طوری که بیش از ۷۰٪ ماده از این دو عنصر تشکیل شده است.

همچنین لبه صفحات نیتریدبور عمود بر تصویر قابل مشاهده هستند. علاوه بر این، ترکیب شیمیایی به دست آمده به وسیله آنالیز EDS نصب شده در کنار میکروسکوپ الکترونی روبشی نیز در شکل ۴ (د) نشان داده شده است. به منظور ارزیابی در ارتباط با قسمت‌های مختلف نمونه، از نواحی متعددی در

مشاهده دقیق حضور عناصر سبک بور (عدد اتمی ۵)، کربن (عدد اتمی ۶)، نیتروژن (عدد اتمی ۷) و اکسیژن (عدد اتمی ۸) از روش طیفسنجی بر پایه فتوالکترون‌های خارج شده از نمونه استفاده کرد. طیفسنجی فتوالکترون پرتو ایکس روشی بسیار دقیق برای آنالیز شیمیایی نمونه و همچنین کشف محیط شیمیایی اطراف هر یک از عناصر نامبرده است. **شکل ۵** نمودار طیفسنجی فتوالکترون پرتو ایکس از نیتریدبور سنتر شده در دمای 1000°C را نمایش می‌دهد. در این شکل حضور اتم‌های بور، نیتروژن، اکسیژن و کربن بهوسیله پیک ناشی از الکترون‌های نشر شده از اوربیتال $1s$ این عناصر قابل ملاحظه است. علاوه بر این الکترون اوژه خارج شده از نمونه مربوط به عناصر نیتروژن و اکسیژن نیز آشکار شده است. با اندازه‌گیری سطح زیر پیک‌ها بهوسیله نرمافزار CASA XPS، مقادیر دقیق هر یک از این چهار عنصر استخراج شده است.

جدول ۲ کسر اتمی هر یک از چهار عنصر را نشان می‌دهد.

همچنین، دوپهای کربن و اکسیژن نیز بیش از ۲۶٪ از عناصر تشکیل‌دهنده را شامل شده‌اند. شایان ذکر است که با توجه به احتمال بالای تولید الکترون اوژه^۱ در عناصر سبک در مقایسه با احتمال تولید پرتو ایکس در اثر تهییج ماده، دقت آنالیز شیمیایی به روش EDS عمدها در حد تعیین حضور عناصر است و محاسبات کمی، به این روش نمی‌تواند مبنای دقیقی برای مطالعه عناصر موجود در ماده باشد. با این وجود، نویسنده‌گان مقاله حاضر، بهمنظور نمایش اختلاف آنالیز شیمیایی به دست آمده از روش EDS با روشی چون طیفسنجی فتوالکترون پرتو ایکس، مقادیر کمی اندازه‌گیری شده به این روش را نیز در این مقاله آورده‌اند. بررسی حضور دوپهایی از عناصر سبک در ماده سرامیکی نیتریدبور که خود از عناصر سبک بور و نیتروژن ساخته شده است، با روش‌های متداول طیفسنجی بر پایه پرتو ایکس دارای دقت پایینی است، به‌گونه‌ای که امکان بررسی حضور این عناصر در ماده با غلطت کم به عنوان ماده دوپ شده را ندارند. لذا لازم است تا برای



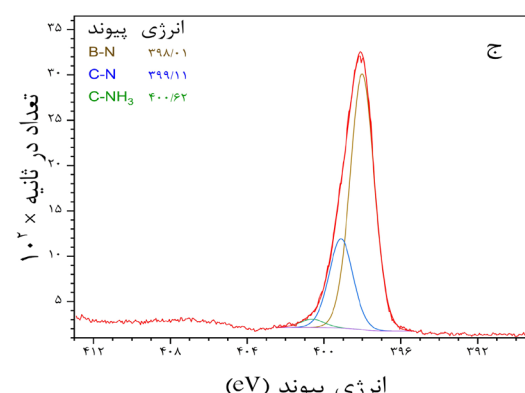
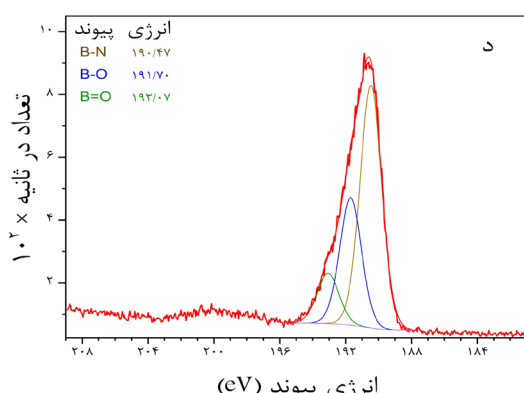
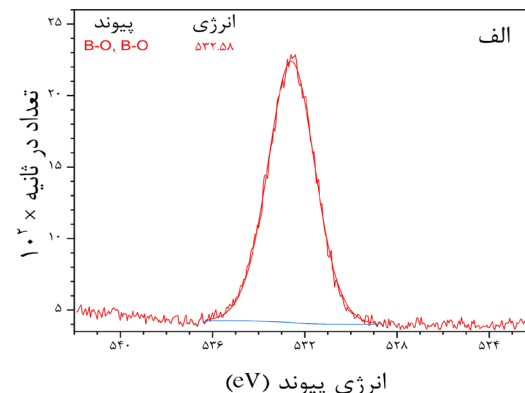
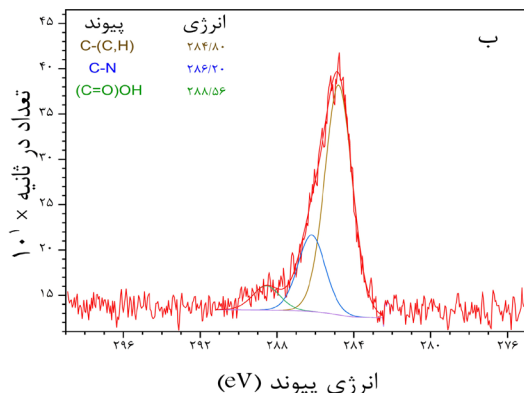
شکل ۵ منحنی طیفسنجی فتوالکترون پرتو ایکس از نمونه سنتر شده در دمای 1000°C

جدول ۲ کسر اتمی عناصر موجود در ماده بر مبنای سطح زیر منحنی طیفسنجی فتوالکترون پرتو ایکس

آنالیز شیمیایی نمونه BN دوپ شده (%.at)			
C	O	B	N
۶/۳۳	۱۷/۴۹	۴۱/۸۴	۳۴/۳۴

می‌دهد. اتم‌های بور که بیشترین کسر اتمی را در ماده نشان داده‌اند، در همسایگی با اتم‌های نیتروژن و اکسیژن قرار گرفته‌اند. عمدت اتم‌های اطراف بور، با سهم بیش از ۵۷٪ اتم نیتروژن شناسایی شده است و پیوندهای بور با اکسیژن نیز در ماده با سهم کمتر نزدیک به ۴۲٪ آشکار شده‌اند. نزدیک به ۷۲٪ از اتم‌های نیتروژن دارای پیوند با بور و نزدیک به ۲۵٪ نیز در پیوند با کربن شناسایی شده‌اند. این مورد نشان دهنده احتمال بالای ورود کربن در مواضع بور است. به این معنی که با ورود اتم کربن به ساختار بلورین نیتریدبور، اتم‌های بور با اتم کربن جایگزین می‌شوند. علاوه بر این مطابق انتظار عدم شناسایی پیوندهای نیتروژن با اکسیژن نیز نشان از جانشینی اکسیژن در مواضع نیتروژن است.

اطلاعات موجود در این جدول نشان می‌دهد که بیش از ۷۶٪ اتمی از عناصر شناسایی شده مربوط به دو اتم نیتروژن و بور است و برخلاف آنالیز شیمیایی به دست آمده از EDS، بیش از ۶٪ اتمی کربن و نزدیک به ۱۷٪ اتمی اکسیژن، در ماده وجود دارد. با توجه به نسبت برابر نیتروژن و بور در ساختار بلورین نیتریدبور، به نظر می‌رسد که اتم‌های اکسیژن عمده‌اً در مواضع نیتروژن وارد شده‌اند. هر چند، احتمال حضور اکسیژن در ناخالصی‌های اکسیدبور باقیمانده در ماده نیز وجود دارد. به منظور شناخت اتم‌های همسایه و محیط شیمیایی اطراف هر یک از چهار عنصر مورد مطالعه در نمونه سنتر شده در دمای ۳۰۰°C، از طیف‌سنجی فوتوالکترون پرتوایکس با وضوح بالا استفاده شده است. **شکل ۶** پیک‌های الکترون‌های اوربیتال 1s هر یک از چهار اتم مذکور را نمایش

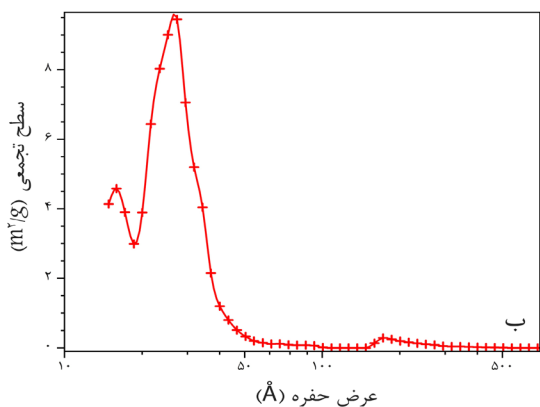


شکل ۶ منحنی طیف‌سنجی فوتوالکترون پرتوایکس وضوح بالا به همراه منحنی‌های واهم آمیخت تحلیلی: الف O1s، ب) C1s، ج) N1s، د) B1s

افزایش می‌یابد [۲۶]. علاوه بر این، سهم پیوندهای بین عناصر از کل پیوندها برمبنای سطح زیر منحنی‌های واهم‌آمیخت طیف‌سنجی فوتوالکترون پرتوایکس باوضوح بالا در **جدول ۳** بیان شده است. نمودار جذب-واجذب نیتروژن نیتریدبور سنتز شده در دمای 1000°C در **شکل ۷ (الف)** نمایش داده شده است. در این شکل، نماد جمع (+) نشان‌دهنده حجم گاز جذب شده به‌ازای هر گرم ماده را در اثر افزایش فشار نسبی نمایش می‌دهد. و منحنی مشخص شده با دایره گاز واجذب شده در اثر کاهش فشار نسبی را نشان می‌دهد در H_3 این شکل وجود منحنی هیسترزیس نوع نزدیک به نوع $\text{H}4$ قابل مشاهده است [۲۳]. چنین هیسترزیسی نشان‌دهنده صفحات جذب گاز روی بلورهایی صفحه‌ای شکل با حفراتی گوهای شکل است. به عبارت دیگر به دلیل عدم افزایش دمای واکنش سنتز صفحات نیتریدبور با زوایایی اتفاقی روی یکدیگر قرار گرفته‌اند و حفراتی با شکل گوه بین دو صفحه مجاور به وجود آمده است. هرچند این ساختار تا حد زیادی از تصاویر میکروسکوپی به دست آمده نیز قابل مشاهده است.

جدول ۳ سهم پیوندهای بین عناصر از کل پیوندها برمبنای سطح زیر منحنی‌های واهم‌آمیخت طیف‌سنجی فوتوالکترون پرتوایکس باوضوح بالا

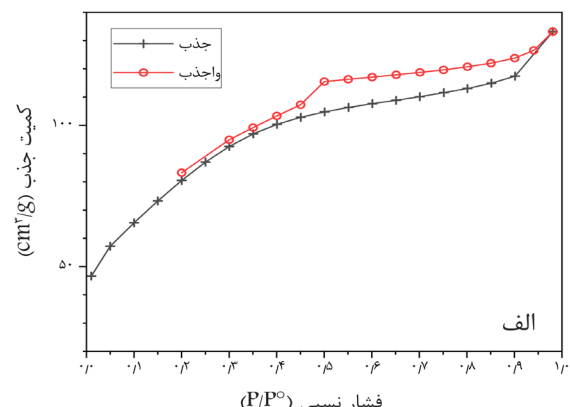
سهم هر ترکیب از کل ترکیبات شناسایی شده (%)									
C-(C,H)	C-N	(C=O)-OH	B-O, B=O	B-N	B-O	B=O	B-N	C-N	C-NH ₃ ⁺
۴/۳۶	۱/۴۵	۰/۴۶	۱۷/۴۶	۲۴/۱۷	۱۲/۲۱	۵/۰۳	۲۴/۸۶	۸/۶۹	۰/۸۱



با توجه به سهم اتمی پایین‌تر اتم‌های نیتروژن در مقایسه با بور از کل عناصر شناسایی شده در ماده و همچنین سهم اتم‌های بور در همسایگی نیتروژن در مقایسه با سهم اتم‌های نیتروژن در اطراف اتم‌های بور می‌توان جانشین شدن اتم‌های اکسیژن به عنوان دوپه جانشین غالب در موضع نیتروژن را تصدیق نمود. همچنین نمودارهای مربوط به اتم‌های کربن و اکسیژن **شکل ۶** نیز به خوبی پیوندهای اکسیژن با بور و کربن با نیتروژن را نمایش می‌دهند. به‌نظر می‌رسد که اتم‌های کربن و اکسیژن به‌نحوی در ساختار بلورین نیتریدبور توزیع شده‌اند که در همسایگی یکدیگر قرار نمی‌گیرند. همچنین، نمودار الکترون‌های اتم کربن نشان می‌دهد که اتم‌های کربن به برقراری پیوند کربن-کربن تمایل دارند و احتمالاً جزا برای دامنه‌هایی از ساختارهای گرافیتی کربن در صفحات نیتریدبور تشکیل داده‌اند. دو مورد اخیر با توجه به توازن انرژی در شبکه ماده با محاسبات انرژی نیز توسط برسنوا و همکاران نیز نشان داده شده است [۲۸]. به این معنی که با افزایش میزان کربن وارد شده به ساختار نیتریدبور، احتمال تشکیل دامنه‌هایی از اتم‌های کربن در ساختار گرافن نیز

جدول ۳ سهم پیوندهای بین عناصر از کل پیوندها برمبنای سطح زیر منحنی‌های واهم‌آمیخت طیف‌سنجی فوتوالکترون

پرتوایکس باوضوح بالا



شکل ۷ (الف) منحنی جذب-واجذب نیتروژن و (ب) نمودار سطح ویژه در تناسب با اندازه حفرات نیتریدبور سنتز شده در دمای 1000°C

پژوهش نفت شماره ۱۴۰، فروردین و اردیبهشت ۱۴۰۴، صفحه ۶۸-۸۰

نیتریدبور و دوپهای آن به دلیل وزن اتمی پایین این عناصر که امکان استفاده از تجهیزات متدال شناسایی مواد بر پایه پرتو ایکس را با مشکل موجه می‌کند، از مهم‌ترین موانع در شناسایی این محصولات است. هر چند آشکارسازهای به روز نصب شده بر میکروسکوپ‌های الکترونی عبوری مدرن برای آنالیز شیمیایی اتم‌های کوچک شامل بور نیز تولید شده‌اند، با این حال چنین تجهیزی در دسترس نویسنده‌گان قرار نداشت. همچنین آنالیز XPS به دلیل قیمت بالا و همچنین ماهیت داده‌های آن که به سطح ماده محدود می‌شود، هر چند در حال حاضر بهترین ابزار در دسترس است، به طور قطع کافی نیست. به نظر می‌رسد استفاده از روش مشخصه‌یابی در دسترسی، بتواند تعداد کافی از نمونه‌های سنتز شده را آنالیز کند و در عین حال نتایج آن دقیق قابل قبولی داشته باشند می‌تواند نتیجه‌گیری دقیق‌تری را به دست آورد. همچنین پیشنهاد می‌شود در تحقیقات آتی، در گامی فراتر از پژوهش حاضر، گرانول یا قطعاتی با شکل هندسی معین و متناسب با پرکننده‌های کپسول‌های ذخیره‌سازی گاز هیدروژن به صورت همزمان با سنتز، ساخته شود. در چنین محصولی که فرآیندهای سنتز، دوب کردن و شکل‌دهی تنها در یک گام صورت می‌پذیرد، امکان بررسی جذب گاز هیدروژن به صورت پایلوت امکان‌پذیر خواهد شد.

نتیجه‌گیری

در پژوهش حاضر، نیتریدبور با موفقیت سنتز و به کمک ابزارهایی چون میکروسکوپ الکترونی روبشی، طیفسنجی فوتوالکترون پرتو ایکس، طیفسنجی رامان، جذب و واجذب نیتروزن مورد مطالعه و مشخصه‌یابی قرار گرفت. مهم‌ترین نتایج به دست آمده در این پژوهش در ادامه فهرست شده‌اند:

الف) اتمسفر نیتروزن-هیدروژن می‌تواند به عنوان یک ابزار کنترلی برای سنتز نیتریدبور دوب شده

اما آنالیز جذب-واجذب نیتروزن که اطلاعات دقیقی در ارتباط با تمام ماده ارائه می‌دهد نشان‌دهنده امکان تعمیم تصاویر میکروسکوپی به کل ماده است [۹]. همچنین اندازه‌گیری سطح ویژه نیتریدبور سنتز شده با استفاده از روش BET نیز سطح ویژه نمونه را نزدیک به m^2/g ۳۰۰ نشان داده است که تأییدکننده ایجاد ریزساختار دو بعدی نیتریدبور و حضور صفحات نیتریدبور است. **شکل ۷** ب) افزایش سطح ویژه در تابع با اندازه حفرات را نمایش می‌دهد. بر این اساس حفرات با ابعاد نزدیک به \AA ۳۰ که در تابع با فضای بین صفحات است، بیشترین سهم را از سطح ویژه ماده داشته‌اند. نتایج پژوهش حاضر نشان می‌دهند که نیتریدبور دوب شده با اکسیژن و کربن با ساختار بلورین هگزاگونال، به روش کربوترمال که روشی ارزان قیمت با استفاده از مواد اولیه در دسترس و با بازده بالاست، با سطح ویژه بالاتر از m^2/g ۳۰۰، ریزساختاری دو بعدی و با رشد ترجیحی در امتداد صفحات، سنتز شده است. متغیرهایی چون ترکیب‌آمیز اولیه، استفاده از افروندنی‌هایی که بتوانند اتم‌های دوب شونده را به سیستم وارد کنند، به دلایلی چون تغییر در حجم گازهای فرار از نمونه و تغییر در ترمودینامیک واکنش منجر به ایجاد تغییرات اساسی در ریزساختار و شیمی ماده می‌شوند. با این حال، متغیرهایی چون دمای سنتز و نسبت گازهای احیا یا اکسیدکننده در اتمسفر کوره بدون ایجاد تحولات شدید در ریزساختار و ترمودینامیک واکنش سنتز نیتریدبور می‌توانند، غلظت اتم‌های دوبه را تغییر دهنند. این ماده با توجه به سطح ویژه بالا و پیوندهای یونی موجود در ساختار خود می‌تواند به عنوان بستری مناسب برای جذب فیزیکی مولکول‌های گاز هیدروژن مورد مطالعه قرار گیرد.

محدودیت‌های پژوهش و پیشنهادات

محدودیت‌های موجود برای آنالیز شیمیایی

اکسیژن در دمای 1000°C تحت اتمسفر حاوی هیدروژن سنتر شده است. همچنین، اثر حرارت دادن به این ساختار در دمای 1500°C تحت اتمسفر نیتروژن نیز بررسی شده است. نتایج نشان می‌دهند در حالی که اتمسفر حاوی هیدروژن منجر به حفظ دوپهای در ساختار شده است، با نزدیک شدن نیتریدبور به شرایط تعادلی در اثر افزایش دما تا 1500°C ، اتمهای دوپه از ساختار خارج شده‌اند. نویسندهای پیشنهاد می‌دهند که افزایش هم‌زمان دما و سهم هیدروژن در اتمسفر کوره، که هر کدام ابزاری مؤثر برای کنترل غلظت دوپهای کربن و اکسیژن در ساختار، تغییر ریزساختار، سطح ویژه و بلورینگی نیتریدبور هستند، مطالعه شود.

تشکر و قدردانی

بدین‌وسیله از همکاران در انجام آنالیزهای جذب-واجدب نیتروژن، XPS و میکروسکوپ الکترونی روبشی تقدير می‌گردد.

با کربن و اکسیژن به صورت درجا و بدون نیاز به افزودن منبع کربن دوپه، استفاده شود. حضور اتمسفر حاوی جزء احیایی، امکان جلوگیری از خروج اتمهای دوپه از ساختار در دمایی بالاتر از روش‌های متداول (1000°C) را فراهم ساخته است. ب) تشکیل ساختار نیتریدبور دوپ شده و حضور و غلطت دوپهای اکسیژن و کربن در ساختار نیتریدبور بصورت جانشینی با ابزارهای دقیقی چون طیفسنجی رامان، طیفسنجی فوتولکترون پرتو-تبديل فوریه و طیفسنجی فوتولکترون پرتو-ایکس شناسایی و اندازه‌گیری شده‌اند. نتایج نشان می‌دهند نیتریدبور با سطح ویژه $300\text{ m}^2/\text{g}$ و ریزساختار دو بعدی و همراه با دوپهای اکسیژن و کربن به ترتیب با ۱۶٪ و ۱۶٪ اتمی به روش کربوترمال و از پیش ماده گوانیدین و اسید بوریک سنتر شده است. این سطح ویژه در مقایسه با روش‌های مشابه استفاده شده برای دوپ کردن نیتریدبور با کربن و اکسیژن نسبتاً بالا است.

ج) نیتریدبور هگزاگونال دوپ شده با کربن و

مراجع

- [1]. Baker, J., Guler, M., Medonna, A., Li, Z., & Ghosh, A. (2025). Analysis of large-scale (1GW) off-grid agrivoltaic solar farm for hydrogen-powered fuel cell electric vehicle (HFCEV) charging station. Energy Conversion and Management, 323, 119184, doi: 10.1016/j.enconman.2024.119184.
- [2]. Moradi, R., & Groth, K. M. (2019). Hydrogen storage and delivery: Review of the state of the art technologies and risk and reliability analysis. International Journal of Hydrogen Energy, 44(23), 12254-12269, doi: 10.1016/j.ijhydene.2019.03.041.
- [3]. Revabhai, P. M., Singhal, R. K., Basu, H., & Kailasa, S. K. (2023). Progress on boron nitride nanostructure materials: properties, synthesis and applications in hydrogen storage and analytical chemistry. Journal of Nanostructure in Chemistry, 13(1), 1-41.
- [4]. Bosu, S., & Rajamohan, N. (2024). Recent advancements in hydrogen storage-Comparative review on methods, operating conditions and challenges. International Journal of Hydrogen Energy, 52, 352-370, doi: 10.1016/j.ijhydene.2023.01.344.
- [5]. Li, W., Jiang, L., Jiang, W., Wu, Y., Guo, X., Li, Z., Yuan, H. & Luo, M. (2023). Recent advances of boron nitride nanosheets in hydrogen storage application. Journal of Materials Research and Technology, 26, 2028-2042., doi: 10.1016/j.jmrt.2023.08.035.
- [6]. Zhang, H., Liu, Y., Sun, K., Li, S., Zhou, J., Liu, S., Wei, H., Liu, B., Xie, L., Li, B. & Jiang, J. (2023). Applications and theory investigation of two-dimensional boron nitride nanomaterials in energy catalysis and storage. EnergyChem, 5(6), 100108, doi: 10.1016/j.enchem.2023.100108.
- [7]. Dethan, J. F., & Swamy, V. (2022). Mechanical and thermal properties of carbon nanotubes and boron nitride nanotubes for fuel cells and hydrogen storage applications: A comparative review of molecular dynamics studies. International Journal of Hydrogen Energy, 47(59), 24916-24944, doi: 10.1016/j.ijhydene.2022.05.240.
- [8]. Panigrahi, P. K., Chandu, B., Motapothula, M. R., & Puvvada, N. (2024). Potential benefits, challenges and perspectives of various methods and materials used for hydrogen storage. Energy & Fuels, 38(4), 2630-2653, doi: 10.1021/acs.energyfuels.3c04084.

- [9]. Weng, Q., Zeng, L., Chen, Z., Han, Y., Jiang, K., Bando, Y., & Golberg, D. (2021). Hydrogen storage in carbon and oxygen Co-doped porous boron nitrides. *Advanced Functional Materials*, 31(4), 2007381, doi: 10.1002/adfm.202007381.
- [10]. Lale, A., Bernard, S., & Demirci, U. B. (2018). Boron nitride for hydrogen storage. *ChemPlusChem*, 83(10), 893-903, doi: 10.1002/cplu.201800168.
- [11]. Xu, Y., Zhang, Y., Zhang, F., Huang, X., Bi, L., Yin, J., Yan, G., Zhao, H., Hu, J., Yang, Z. & Wang, Y. (2024). Carbon doping of B6N6 monolayer can improve its hydrogen storage performance effectively: A theoretical study. *International Journal of Hydrogen Energy*, 50, 475-483. doi.org/10.1016/j.ijhydene.2023.07.216.
- [12]. Talla, J. A., Al-Khaza'leh, K., & Omar, N. (2022). Tuning the electronic properties of carbon-doped double-walled boron nitride nanotubes: density functional theory. *Russian Journal of Inorganic Chemistry*, 67(7), 1025-1034, doi: 10.1134/S0036023622070178.
- [13]. Wang, X., Zhao, T., Liu, C., Wang, X., & Zhang, Y. (2022). Molecular simulation of the O₂ diffusion and thermo-oxidative degradation mechanism of carbon-doped boron nitride nanosheets/BTDA-ODA polyimide composites with high O₂ adsorption capacity. *Surfaces and Interfaces*, 33, 102246, doi: https://doi.org/10.1016/j.surfin.2022.102246.
- [14]. Shirodkar, S. N., Sayou Ngomsi, C. A., & Dev, P. (2023). Small Electron Polaron in Carbon-Doped Cubic Boron Nitride. *ACS Applied Electronic Materials*, 5(3), 1707-1714. doi.org/10.1021/acsaelm.2c01743.
- [15]. Taib, A. K., Johari, Z., Abd. Rahman, S. F., Mohd Yusoff, M. F., & Hamzah, A. (2023). Hydrogen gas sensing performance of a carbon-doped boron nitride nanoribbon at elevated temperatures. *PLoS One*, 18(3), e0282370, doi: https://doi.org/10.1371/journal.pone.0282370.
- [16]. Matveev, A. T., Kovalskii, A. M., Antipina, L. Y., Klimchuk, D. O., Manakhov, A. M., Al-Qasim, A. S., & Shtansky, D. V. (2025). Experimental and theoretical insights into enhanced hydrogen uptake by H₂-activated BNOC nanomaterials. *International Journal of Hydrogen Energy*, 97, 787-797, doi: 10.1016/j.ijhydene.2024.11.399.
- [17]. Tokarev, A., Kjeang, E., Cannon, M., & Bessarabov, D. (2016). Theoretical limit of reversible hydrogen storage capacity for pristine and oxygen-doped boron nitride. *International Journal of Hydrogen Energy*, 41(38), 16984-16991, doi: 10.1016/j.ijhydene.2016.07.010.
- [18]. Shayeganfar, F., & Shahsavari, R. (2016). Oxygen-and lithium-doped hybrid boron-nitride/carbon networks for hydrogen storage. *Langmuir*, 32(50), 13313-13321, doi: 10.1021/acs.langmuir.6b02997.
- [19]. Ma, C., Zhang, Y., Yan, S., & Liu, B. (2022). Carbon-doped boron nitride nanosheets: A high-efficient electrocatalyst for ambient nitrogen reduction. *Applied Catalysis B: Environmental*, 315, 121574, doi: 10.1016/j.apcatb.2022.121574.
- [20]. Guo, J., Duan, Y., Wu, T., Zhang, W., Wang, L., Zhang, Y., Luo, Q., Lu, Q., Zhang, Y., Mu, H. & Wang, D. (2023). Atomically dispersed cerium sites in carbon-doped boron nitride for photodriven CO₂ reduction: Local polarization and mechanism insight. *Applied Catalysis B: Environmental*, 324, 122235, doi: 10.1016/j.apcatb.2022.122235.
- [21]. Zhang, P., Chen, Y., Chen, Y., Guo, Q., Liu, Y., Yang, Y., Cao, Q., Chong, H. & Lin, M. (2023). Functionalized hierarchically porous carbon doped boron nitride for multipurpose and efficient treatment of radioactive sewage. *Science of The Total Environment*, 866, 161378, doi: 10.1016/j.scitotenv.2022.161378.
- [22]. Jiao, L., Zhao, X., Guo, Z., Chen, Y., Wu, Z., Yang, Y., Wang, M., Ge, X. & Lin, M. (2022). Effect of γ irradiation on the properties of functionalized carbon-doped boron nitride reinforced epoxy resin composite. *Polymer Degradation and Stability*, 206, 110167, doi: 10.1016/j.polymdegradstab.2022.110167.
- [23]. Chen, Y., Zhang, P., Jiao, L., Chen, G., Yang, Y., Chong, H., & Lin, M. (2022). High efficient and selective removal of U (VI) from lanthanides by phenanthroline diamide functionalized carbon doped boron nitride. *Chemical Engineering Journal*, 446, 137337, doi: 10.1016/j.cej.2022.137337.
- [24]. Liu, F., Han, R., Nattestad, A., Sun, X., & Huang, Z. (2020). Carbon-and oxygen-doped hexagonal boron nitride for degradation of organic pollutants. *Surface Innovations*, 9(4), 222-230, doi: 10.1680/jsuin.20.00061.
- [25]. Liu, Z., Zhang, M., Wang, H., Cang, D., Ji, X., Liu, B., Yang, W., Li, D. & Liu, J. (2020). Defective carbon-doped boron nitride nanosheets for highly efficient electrocatalytic conversion of N₂ to NH₃. *ACS Sustainable Chemistry & Engineering*, 8(13), 5278-5286, doi: 10.1021/acssuschemeng.0c00330.
- [26]. Kumar, E. M., Sinthika, S., & Thapa, R. (2015). First principles guide to tune h-BN nanostructures as superior light-element-based hydrogen storage materials: role of the bond exchange spillover mechanism. *Journal of Materials Chemistry A*, 3(1), 304-313, doi: 10.1039/c4ta04706k.
- [27]. Liu, F., Nattestad, A., Naficy, S., Han, R., Casillas, G., Angeloski, A., Sun, X. & Huang, Z. (2019). Fluorescent Carbon-and Oxygen-Doped Hexagonal Boron Nitride Powders as Printing Ink for Anticounterfeit Applications. *Advanced Optical Materials*, 7(24), 1901380, doi: 10.1002/adom.201901380.
- [28]. Berseneva, N., Gulans, A., Krasheninnikov, A. V., & Nieminen, R. M. (2013). Electronic structure of boron nitride sheets doped with carbon from first-principles calculations. *Physical Review B—Condensed Matter and Materials Physics*, 87(3), 035404, doi: 10.1103/PhysRevB.87.035404.



Special Issues on the Development of the Hydrogen Technology Chain

Petroleum Research

Petroleum Research, 2025(April-May), Vol. 35, No. 140, 18-20

DOI: 10.22078/pr.2024.5437.3418

Synthesis of High-surface-area Carbon- and Oxygen-doped Boron Nitride for Enhanced Hydrogen Physisorption Capacity

Farshid Farzaneh¹, Hajar Ghanbari¹, Hosein Sarpoolaki¹, and Mohammad Golmohammad^{2*}

1. Ceramics Group, School of Metallurgy and Materials Engineering, Iran University Science & Technology, Tehran, Iran.

2. Renewable Energy Department, Niroo Research Institute, Tehran, Iran

mgolmohammad@nri.ac.ir

DOI: 10.22078/pr.2024.5437.3418

Received: April 20, 2024

Accepted: January 18, 2025

Introduction

Hydrogen can be stored through physical or chemical absorption processes, or by chemical reactions within materials. Physical absorption offers significant advantages over chemical absorption and chemical reactions, including high absorption rates, high release rates, excellent reversibility, and high cycle stability. However, the absorption capacity of these materials is usually relatively low. These desirable characteristics make the design of hydrogen sorbents based on physical absorption mechanisms promising yet challenging. Surface properties of the material such as specific surface area (SSA), pore volume, and hydrogen adsorption energy are key factors governing the hydrogen absorption capacity for each physical sorbent [1]. A higher specific surface area provides more surface sites for hydrogen molecule adsorption, while hydrogen adsorption energy indicates the interaction energy between hydrogen molecules and the material surface during the hydrogen absorption process, or in other words, higher absorption capacity per unit surface area. One important approach in developing hydrogen storage materials is to strive for materials with higher specific surface area and larger open pore volume. However, the limitation in increasing the specific surface area of a material has constrained the effect of surface area on absorption capacity to a surface area of around 3800 m²/g. Nevertheless, comparisons of results obtained from hydrogen physisorption on carbonaceous materials indicate that in many cases, carbonaceous materials with a specific surface area below 1000 m²/g can

exhibit higher hydrogen storage capacity than materials with a surface area exceeding 3000 m²/g [2]. Therefore, the focus should be on increasing the enthalpy of physical adsorption up to 20 kJ/mol, which theoretically can be achieved by introducing cooperative bonding, ionization, polarization, and irradiation to host materials, as well as by considering the hydrogen spillover effect [3]. Boron nitride is one of the materials that has been studied experimentally and computationally for hydrogen storage applications [4]. Compared to corresponding carbon materials, nanomaterials based on boron nitride exhibit unique thermal stability and chemical resistance, which enhance their recyclability and lifespan [5].

Materials and Methods

The precursor material for synthesizing doped boron nitride involves using guanidine carbonate (CAS: 593-85-1) as a nitrogen and carbon source, along with boric acid (CAS: 10043-35-3) as a boron and oxygen source. The initial materials, with a total weight of 15 grams and a molar ratio of 1:5.1 (boric acid to guanidine carbonate), were dissolved in deionized water at a temperature of 80°C. The solution was then mixed using a magnetic stirrer and subsequently dried at this temperature. Next, the material was completely dried at 160°C, and the resulting solid blocks were ground using a mortar and pestle. These ground blocks were placed in an aluminum boat within a nitrogen-hydrogen atmosphere (5% hydrogen, purity 99.99%) passing through a furnace at a flow rate of 50 mL/min. The material was heated at temperatures of 1000°C and

1500°C for 3 hours to undergo carbothermal synthesis of boron nitride. The unreacted boric acid was removed from the final product through two cycles of washing with hot water followed by filtration under vacuum. The product was then prepared for characterization.

Results and Discussion

In Fig. 1, the X-ray diffraction (XRD) pattern and Raman spectroscopy results for the synthesized boron nitride at temperatures of 1000°C and 1500°C are displayed. For the boron nitride synthesized at 1000°C, the XRD pattern shows peaks corresponding to the crystalline planes of hexagonal boron nitride. However, the intensity ratio of the (002) to (011) peaks in this sample is lower than the similar ratio in conventional hexagonal boron nitride with an extended lattice. These observations suggest that synthesis of boron nitride at 1000°C may lead to the formation of a phase with a different crystalline structure or distinctive characteristics compared to regular hexagonal boron nitride. The results of Raman spectroscopy analysis on the sample synthesized at 1000°C show a broad peak at wavenumber 1338 cm⁻¹. The broadening of the Raman peak indicates the presence of a wide range of bonds in the synthesized sample, each contributing

with different bond energies and bond distances, resulting in various Raman shifts. As a result of the accumulation of these diverse bonds, a broad peak has emerged in the Raman spectrum [6].

Fig. 2 displays the results of Fourier Transform Infrared (FT-IR) spectroscopy and UV-Visible (UV-Vis) spectroscopy analysis of the boron nitride synthesized at 1000°C. The FT-IR spectrum analysis shows absorption bands corresponding to boron-nitrogen bonds. Multiple peaks are clearly observed in the infrared spectrum, indicating the presence of various bonds within the material. The FT-IR spectrum exhibits peaks associated with bending and stretching vibrations of nitrogen-boron bonds at wavenumbers of 800 cm⁻¹ and 1350 cm⁻¹, along with other peaks related to carbon and oxygen atoms doped into the boron nitride structure. The UV-Vis spectrum also displays peaks with wavelengths in the range of 190-205 nm. These peaks indicate the presence of a wide energy gap in the synthesized boron nitride material. Since the band gap of hexagonal boron nitride is close to 6.0 eV, the absorption in the UV range signifies a small change in the band gap energy of the synthesized boron nitride, calculated to be higher than 6.1 eV for this material.

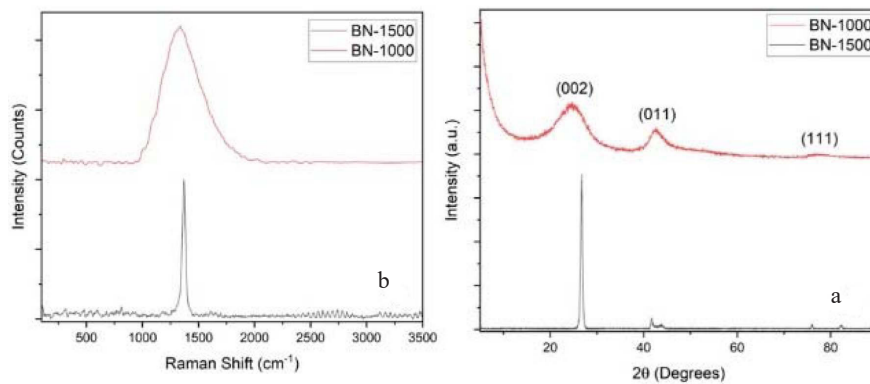


Fig. 1 XRD patterns and Raman spectroscopy of synthesized samples.

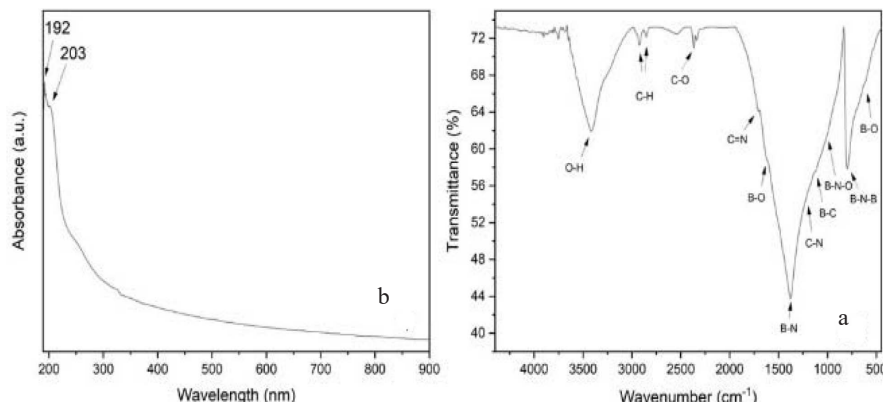


Fig. 2 FT-iR and UV-Vis spectrums of synthesized sample at 1000°C.

The curve indicated by circles depicts the gas desorbed upon decreasing relative pressure. From this graph, the presence of a hysteresis curve of type H3, closely resembling type H4, can be observed [7]. Such hysteresis indicates gas adsorption on sheet-like crystal surfaces with slit-shaped pores. In other words, due to the non-uniform stacking of boron nitride sheets during synthesis at a constant temperature, pores resembling slits have formed between adjacent sheets. While this structure is partially observable from microscopy images, nitrogen adsorption and desorption analysis, which provides precise information about the material's bulk properties, suggests the potential for extrapolating microscopy images to the entire material [8].

Conclusions

In the present research, boron nitride was successfully synthesized and characterized using tools such as scanning electron microscopy (SEM), X-ray photoelectron spectroscopy (XPS), Raman spectroscopy, and nitrogen adsorption-desorption analysis. The key results obtained in this study are listed below:

A) Oxygen and carbon doping using a nitrogen-hydrogen atmosphere was effectively performed during the synthesis of boron nitride, enabling *in situ* doping.

B) The formation of doped boron nitride structure and the presence and concentration of oxygen and carbon dopants within the boron nitride structure were identified and quantified using precise techniques such as Raman spectroscopy, Fourier-transform infrared spectroscopy (FT-IR), and X-ray photoelectron spectroscopy (XPS). The results indicate that boron nitride with a surface area of 300 m²/g, accompanied by oxygen and carbon dopants at atomic percentages of 16% and 6% respectively, were identified.

C) The authors suggest that increasing the temperature and adjusting the hydrogen content in the furnace atmosphere can serve as tools to control the concentration of dopants within the boron nitride structure.

These findings demonstrate successful synthesis and detailed characterization of doped boron nitride, highlighting the potential of temperature and atmosphere adjustments for tuning dopant concentrations in boron nitride structures.

References

- Revabhai, P. M., Singhal, R. K., Basu, H., & Kailasa, S. K. (2023). Progress on boron nitride nanostructure materials: properties, synthesis and applications in hydrogen storage and analytical chemistry. *Journal of Nanostructure in Chemistry*, 13(1), 1-41.
- Bosu, S., & Rajamohan, N. (2024). Recent advancements in hydrogen storage-Comparative review on methods, operating conditions and challenges. *International Journal of Hydrogen Energy*, 52, 352-370, doi: 10.1016/j.ijhydene.2023.01.344.
- Li, W., Jiang, L., Jiang, W., Wu, Y., Guo, X., Li, Z., Yuan, H. & Luo, M. (2023). Recent advances of boron nitride nanosheets in hydrogen storage application. *Journal of Materials Research and Technology*, 26, 2028-2042., doi: 10.1016/j.jmrt.2023.08.035.
- [4] Zhang, H., Liu, Y., Sun, K., Li, S., Zhou, J., Liu, S., Wei, H., Liu, B., Xie, L., Li, B. & Jiang, J. (2023). Applications and theory investigation of two-dimensional boron nitride nanomaterials in energy catalysis and storage. *EnergyChem*, 5(6), 100108., doi: 10.1016/j.enchem.2023.100108.
- Dethan, J. F., & Swamy, V. (2022). Mechanical and thermal properties of carbon nanotubes and boron nitride nanotubes for fuel cells and hydrogen storage applications: A comparative review of molecular dynamics studies. *International Journal of Hydrogen Energy*, 47(59), 24916-24944., doi: 10.1016/j.ijhydene.2022.05.240.
- Kumar, E. M., Sinthika, S., & Thapa, R. (2015). First principles guide to tune h-BN nanostructures as superior light-element-based hydrogen storage materials: role of the bond exchange spillover mechanism. *Journal of Materials Chemistry A*, 3(1), 304-313, doi: 10.1039/c4ta04706k.
- Chen, Y., Zhang, P., Jiao, L., Chen, G., Yang, Y., Chong, H., & Lin, M. (2022). High efficient and selective removal of U (VI) from lanthanides by phenanthroline diamide functionalized carbon doped boron nitride. *Chemical Engineering Journal*, 446, 137337. doi.org/10.1016/j.cej.2022.137337.
- Weng, Q., Zeng, L., Chen, Z., Han, Y., Jiang, K., Bando, Y., & Golberg, D. (2021). Hydrogen storage in carbon and oxygen Co-doped porous boron nitrides. *Advanced Functional Materials*, 31(4), 2007381. doi.org/10.1002/adfm.202007381.